

# اثر هیدرومکانیکی تودهسنگ پی بر پایداری سدهای بتنی وزنی

رضا مهین روستا (استاد بار)

دانشکده‌ی مهندسی، دانشگاه تربیت مدرس

محی الدین حمیدی‌بور (کارشناس ارشد)

دانشکده‌ی مهندسی، دانشگاه زنجان

یکی از عوامل مهم و مؤثر در رفتار توده‌سنگ‌های تکیه‌گاهی در سدها، مشخصات هندسی و هیدرومکانیکی درزه‌های است که نایدیه‌گرفتن آن‌ها در طراحی سدهای وزنی ممکن است خسارت جبران‌ناپذیری به وجود آورد یا منجر به طرحی غیراقتصادی شود. در این تحقیق با استفاده از یک روش اجزاء مجزا، پایداری یک سد بتنی وزنی مستقر بر توده‌سنگی با دو و سه دسته مورد ارزیابی قرار گرفته است. این ارزیابی کلیه‌ی لوازم طراحی — ازجمله محاسبه‌ی فشار بالابرند، کتول واژگونی، کتول لغزش، کتول وقوع ترک کششی و ظرفیت باربری پی سنگی با لحاظ‌کردن اثر زاویه‌ی دسته درزه‌ها نسبت به هم و شیب آن‌ها نسبت به افق انجام شده — را شامل می‌شود. نتایج حاصله نشان می‌دهد که ویژگی‌های هیدرومکانیکی توده‌سنگ تکیه‌گاه بر توزع فشار بالابرندی زیر سد تأثیر زیادی دارد، که خود سهم عمده‌ی در ضریب اطمینان پایداری سد دارد. بدین ترتیب بهتر است فرضیات مورد استفاده برای طراحی پی سدهای وزنی در محیط‌های پیوسته در توده‌سنگ‌های تکیه‌گاهی که شامل محیط‌های ناپیوسته‌اند، با احتیاط بیشتر استفاده شوند.

reza.mahinroosta@gmail.com  
m\_hamidipour@yahoo.com

واژگان کلیدی: سد وزنی، توده‌سنگ درزه‌دار، روش اجزاء مجزا، تحلیل پایداری.

## ۱. مقدمه

پیش‌تر نیز محققین مطالعاتی درخصوص پی سنگی سدهای وزنی انجام داده‌اند. در یکی از این مطالعات، با استفاده از تحلیل تغییرشکل ناپیوسته (DDA)<sup>[۱]</sup> و با یک الگوریتم هیدرومکانیکی، تأثیر ناپیوستگی‌های سنگ بر نیروی بالابرند و تراویش در پی سد بتنی وزنی مورد بررسی قرار گرفت.<sup>[۲]</sup> در آن تحقیق، اهمیت چندین پارامتر مؤثر بر پایداری سد — نظریه‌جهت، فاصله و محل ناپیوستگی‌ها — از طریق «تحلیل حساسیت» ارزیابی شد و تأثیر زهکشی بر کاهش فشار بالابرند و افزایش پایداری سد نیز بررسی شد. نتایج حاصله نشان داد که برای سدهای بتنی وزنی احداث شده بر توده‌سنگ‌های درزه‌دار، که در آن‌ها علاوه‌نما ناپیوستگی‌ها کتول‌کننده‌ی جریان در پی هستند، فرض توزع خطی یا دوخطی برای فشار بالابرند اصلاً مناسب نیست و معمولاً فشار بالابرندی محاسبه شده به روش اجزاء مجزا از توزع فشار خطی بیشتر است. همچنین زهکش‌ها با توجه به محل و قطرشان می‌توانند در کاهش نیروی بالابرند بسیار مؤثر باشند.

در تحقیقی دیگر، وضعیت پایداری یک سد وزنی بتنی ساخته شده در ایالت ایالتی بهارتفاصل ۷۳ متر که بر یک توده‌سنگ گرانیتی درزه‌دار بنا شده بود، بررسی شد.<sup>[۳]</sup> بدین منظور، با استفاده از روش اجزاء مجزا و برنامه‌ی UDEC، توده‌سنگ پی در شرایط دو بعدی و به صورت یک محیط ناپیوسته مدل شد و مورد تحلیل تکیبی تنش-جریان قرار گرفت. این مدل شامل مقطعی از سد و تکیه‌گاه به طول ۱۵۰ متر در بالادرست و پایین دست سد و به عمق ۱۹۰ متر بود و از دو الگوی درزه‌ی منظم

در طراحی و ارزیابی پایداری سدهای وزنی بر روی توده‌سنگ‌های درزه‌دار باید به عوامل مختلفی توجه داشت. سدهای وزنی ممکن است به دلیل لغزش روی یک صفحه‌ای افقی یا نزدیک به افق، واژگونی حول پنجه یا افزایش تنش وارده نسبت به انشاع مجاز، چار خرابی شوند. این خرابی ممکن است درون سازه، در پایه‌ی سد، یا در پی اتفاق بیفتد.<sup>[۴]</sup> در این میان پی، به دلیل ناشناخته بودن رفتار و کرم رنگ‌تر بودن نقش آن در طراحی سدهای وزنی می‌تواند خطرسازتر باشد. در غالب موارد، پی سدهای وزنی از توده‌سنگ‌هایی تشکیل می‌شود که ناپیوستگی‌ها جزو ذاتی آن‌هاست. وجود ناپیوستگی‌ها در توده‌سنگ و تأثیرات مهم خصوصیات آن‌ها همچون میزان بازشدگی، زبری، سختی، شیب، فاصله‌داری و موقعیت هندسی درزه‌ها نسبت به بدنه‌ی سد باعث پیچیده شدن شناخت رفتار توده‌سنگ می‌شود. علاوه‌بر آن، اندرکش رفتار هیدرولیکی و مکانیکی توده‌سنگ درزه‌دار، رفتاری پیچیده‌تر از توده‌سنگ یک پارچه به وجود می‌آورد. در مرور سدهای وزنی، با توجه به این که نیروی بالابرند نیز در واژگونی و لغزش سد نقش مهمی دارد، محاسبه‌ی دقیق تر آن — که تا حد زیادی وابسته به مشخصات توده‌سنگ پی سازه است — می‌تواند به طرحی این تر و اقتصادی‌تر بینجامد. با توجه به مطالعه‌گفته شده، مطالعه‌ی دقیق تر توده‌سنگ پی سدهای وزنی امری ضروری به نظر می‌رسد.

تاریخ: دریافت ۷/۵/۱۳۸۸، اصلاحیه ۲/۵/۱۳۸۹، پذیرش ۱۸/۵/۱۳۸۹

در تمامی موارد یادشده، از روش اجزاء مجزا برای بررسی دقیق رفتار هیدرومکانیکی یک سد با دسته درزه‌های خاص استفاده شده است. در این نوشتار سعی شده تا با توجه به تأثیرات رفتار هیدرومکانیکی سد و تکیه‌گاه آن، تفاوت‌های روش اجزاء مجزا و روش‌های مرسوم تحلیل و طراحی در یک نمونه سد بتئی متغیر بررسی، و کمترین و بیشترین تفاوت‌ها مشخص شود. برای این منظور، اهمیت مشخصات هندسی توده‌سنگ درزه‌دار بر فشار برخاستی زیر سد، ایجاد ترک در اتصال سد و تکیه‌گاه، پایداری سد در برابر لغزش و واژگونی، با استفاده از نرم افزار UDEC مورد بررسی قرار گرفته است. تعداد دسته‌درزه‌ها، شیب و مشخصات آن‌ها، فاصله‌ی آن‌ها و نیز بازشدنگی اولیه درزه‌ها، پارامترهای هندسی هستند که در ادامه مورد بحث قرار می‌گیرند.

## ۲. شبیه‌سازی رفتار هیدرومکانیکی

Riftar هیدرومکانیکی در توده‌سنگ درزه‌دار مستلزم رابطه‌ی تکراری میان تعییرشکل درزه‌ها و تنش مؤثر است که باعث تعییر دریافت‌شدنگی درزه‌ها و میزان نفوذپذیری خواهد شد. به‌همین دلیل در بیشتر سنگ‌هایی که نفوذپذیری کمی دارند، رفتار هیدرومکانیکی توده‌سنگ بر واکنش‌های محیط بسیار مؤثر است. روش اجزاء مجزای UDEC قابلیت شبیه‌سازی جریان سیال از میان درزه‌های یک سیستم نفوذپذیر را دارد.<sup>[۸]</sup> تحلیل هیدرومکانیکی کامل در آن به‌گونه‌ی انجام می‌شود که نفوذپذیری درزه‌ها بستگی به تعییرشکل مکانیکی درزه‌ها داشته و به عکس، فشار آب درزه بر رفتار مکانیکی آن مؤثر است.

در این برنامه برای نمایش دو بعدی نایوستگی بین بلوك‌های سنگی از روشنی خاص استفاده می‌شود. نایوستگی‌ها در واقع شبکه‌ی از حفره‌های به هم پیوسته و کانال‌ها هستند که توسعه نقاط تماس از یکدیگر جدا می‌شوند؛ این نقاط بیان‌گر نیروهای ناشی از اندرکنش مکانیکی بلوك‌های سنگی‌اند. نقاط تماس ممکن است در محل نقاط شبکه‌ی بلوك‌ها یا در امتداد لبه‌ها و در نقاط دیگر باشند. در غیاب نیروی جاذبه، فرض بر آن است که فشار سیال به طور یکنواخت پخش می‌شود و در مسائلی که نیروی جاذبه وجود دارد، فرض می‌شود که فشار هیدروسنتیکی حاکم است؛ به عبارتی فشار سیال مربوط به هر درزه در راستای جاذبه به صورت خطی تعییر می‌کند و فشار وسط آن برای درزه لحاظ می‌شود. جریان به عمل نتایج فشار سیال در دو انتهای درزه‌های مجاور ایجاد می‌شود و نیز جریان بسته به نوع تماس به طریق محاسبه می‌شود. برای یک نقطه‌ی تماس نیز جریان توسعه می‌شود:

$$q = -k_c \Delta p \quad (1)$$

که در آن  $k_c$  پارامتر نفوذپذیری نقطه‌ی تماس،  $\Delta p$  اختلاف فشار آب است که براساس رابطه‌ی ۲ محاسبه می‌شود:

$$\Delta p = p_2 - p_1 + \rho_w g(y_2 - y_1) \quad (2)$$

$w$  چگالی سیال،  $y$  شتاب ثقل است که فرض می‌شود در خلاف جهت  $y$  عمل می‌کند. همچنین  $y_1$  و  $y_2$  عدد ارتفاع در مرکز درزه‌ها هستند. در موارد تماس لبه به لبه، یک طول تماس می‌تواند تعریف شود. در این مورد می‌توان از قانون مکعب درمورد جریان در ترک‌های دو بعدی بهره جست. در این

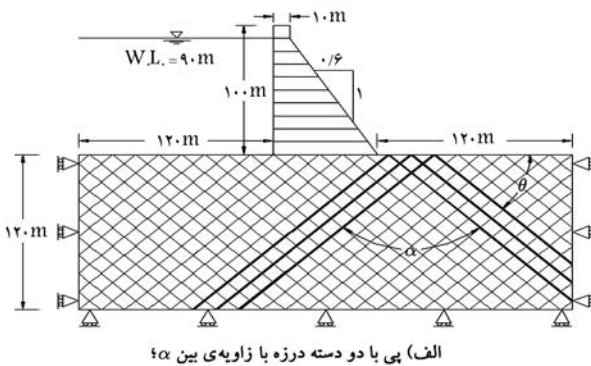
و تصادفی برای پی تبعیت می‌کرد. در آن مطالعه، تأثیر پرده‌ی تزریق و زهکش بر وضعیت تراویش در بی نیز بررسی شد. از نتایج تحلیل یادشده می‌توان به تأثیر قابل ملاحظه‌ی آرایش درزه سنگ بر رفتار پی سد، تأثیر زیاد پرده‌ی تزریق و زهکش در کاهش دی خروجی، کاهش فشار بالابرند و در تیجه افزایش پایداری در برابر لغزش در سد اشاره کرد. نتایج حاصله برای دسته‌درزه‌های با توزیع منظم و تصادفی نشان داد که در مقطع سد مورد نظر، توزیع فشار بالابرند و تقریباً مشابه رهمنومنهای ارائه شده در استانداردهای سدسازی است. همچنین سد مورد نظر در برابر لغزش پایدار بوده ولی ضریب اطمینان لغزش به روش اجزاء مجزا کمتر از روش‌های مرسوم است. این نکته حاصل مدل‌سازی دقیق تر توده‌سنگ توسعه برنامه‌ی اجزاء مجزا بوده است.

در یکی دیگر از مطالعات انجام شده، وضعیت نفوذ و پایداری یک سد از نوع مصالح بنایی به‌قدمت ۱۰۰ سال و مستقر بر سنگ بستر درزه‌دار، به‌وسیله‌ی برنامه‌ی UDEC بررسی شد.<sup>[۵]</sup> مدل مورد استفاده در سنگ و درزه‌ها مدل موهر - کولمب بود؛ همچنین برای ارزیابی این‌سازه و تهیه‌ی طرحی برای بازسازی سد، مراحل اصلی ساخت سد به صورت مسئله‌ی متقابل هیدرومکانیکی و ترمومکانیکی یک محیط ناپوسته شبیه‌سازی شد. در آن تحقیق با تعیین حالت‌های احتمالی شکست، طرحی برای بازسازی سد ارائه شد و سپس شبیه‌سازی روش پیشنهادی به افزایش قابل ملاحظه‌ی ضریب این‌سی سد منجر شد. محققین با مدل‌سازی سد مورد نظر به این تیجه رسیدند که به دلیل نفوذپذیری زیاد فسمت بتئی اتصال سد فوق به توده‌سنگ تکیه‌گاهی، عمل لغزش در بی سد را به همراه خواهد داشت، و انجام تمهیماتی برای پهلو و وضعیت سد ضروری است. ایشان در یک تحلیل حساسیت نشان داد که چنانچه ناحیه‌ی فوق نفوذپذیر فرض شود عمل احتمال لغزش و نایدیاری وجود ندارد؛ این مسئله نشان‌گر اهمیت مدل‌سازی دقیق توده‌سنگ درزه‌دار با استفاده از روش اجزاء مجزاست.

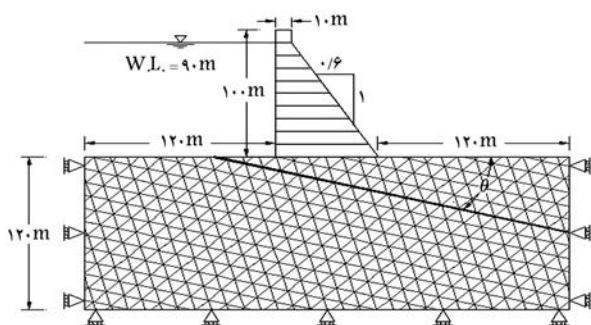
Riftar سد بتئی وزنی Albigna در سویس، به ارتفاع ۸۰ متر نیز مورد بررسی پژوهش‌گران قرار گرفت.<sup>[۶]</sup> آنان با استفاده از مشاهدات حاصل از ابزار نصب شده در بدنه و پی سد، و نیز با استفاده از تحلیل اجزاء مجزای سد مذکور و تأیید آن با نتایج ابزار، احتمال گسترش ترک، لغزش و توزیع فشار آب را با روش‌های مرسوم مقایسه، و مشاهده کردند که در سد مورد بررسی، فشار بالابرند بعد از گسترش ترک -- با توجه به روش‌های مرسوم -- بسیار محافظه‌کارانه است و با مشاهدات صورت گرفته هم خوانی ندارد. همچنین دریافتند که چنانچه فاصله‌ی درزه‌ها بسیار کم باشد و جهت درزه‌های نسبتاً تراکم‌پذیر<sup>۲</sup> عمود بر امتداد رودخانه باشد، بعد از آبگیری بازشدنگی درزه‌ها به شدت تعییر خواهد کرد. در این شرایط محاسبات دستی و مدل‌های عددی در محیط پیوسته جواب مناسب نخواهند داد و لازم است از روش اجزاء مجزا در ارزیابی پایداری سد استفاده کرد.

و بالاخره، پاسخ تکیه‌گاه سد قوسی بتئی تحت اثرات متقابل رفتار هیدرولیکی و مکانیکی و با استفاده از روش اجزاء مجزای دو بعدی مورد ارزیابی قرار گرفت.<sup>[۷]</sup> پژوهش‌گران در تحقیق خود تأثیرات فشار آب پشت سد، پارامترهای هندسی، هیدرولیکی و مکانیکی درزه‌ها و پرده‌ی آب بند را بر این‌سی تکیه‌گاه سدهای بتئی قوسی بررسی کردند. همچنین مقادیر لغزش و بازشدنگی در محل نایوستگی‌ها و میزان نشت آب از داخل آن‌ها مورد ارزیابی قرار گرفت و از میزان گسترش آن‌ها در کل تکیه‌گاه به عنوان شاخصی برای تخمین این‌سی تکیه‌گاه سد استفاده شد. نتایج حاصله نشان‌گر تأثیر درزه‌ها و خصوصیات مکانیکی، هیدرولیکی و هندسی آن‌ها بر این‌سی و میزان نشت تکیه‌گاه است.

حالات دینامیکی جریان عبارت است از:

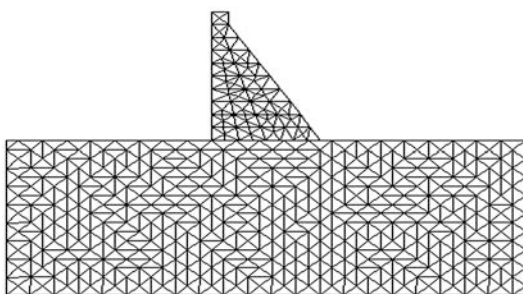


(الف) پی با دسته درزه با زاویه بین  $\alpha$



(ب) پی با سه دسته درزه با زاویه بین  $60^\circ$  درجه.

شکل ۱. هندسه‌ی کلی و شرایط مرزی مدل.



شکل ۲. نمونه‌ی از شبکه‌ی المان‌های مدل.

تمامی مصالح و درزه‌ها از مدل رفتاری موهر-کولمب پروری می‌کنند. مشخصه‌های تؤوتکنیکی مصالح سد بتونی و سنگ سالم بی در جدول ۱ و مشخصه‌های مکانیکی و هیدرولیکی درزه‌ها در جدول ۲ آمده است. ضریب نفوذپذیری درزه‌ها، با فرض گران‌روی دینامیکی آب معادل  $K_j = 10^{-3} Pa.s$ ,  $\mu = 10^{-3} Pa^{-1}.s^{-1}$ ,  $\alpha = 82/3^\circ$  بوده و هیچ‌گونه آبی از در نظر گرفته شد. مقدار سختی قائم و برشی درزه‌های بی با فرض مدول کشسانی توده‌سنگ برابر با  $8 GPa$  با استفاده از روابط ۵ و ۶ به دست آمده است:<sup>[۹,۱۰]</sup>

$$\frac{1}{E_m} = \frac{1}{E_r} + \frac{1}{K_n \cdot S} \Rightarrow K_n = 1/2 \frac{GPa}{m} \quad (5)$$

$$K_s \cong \frac{1}{3} K_n = 0,4 \frac{GPa}{m} \quad (6)$$

که در آن‌ها  $E_m$ ,  $E_r$ ,  $K_n$  و  $S$  به ترتیب مدول کشسانی توده‌سنگ، مدول کشسانی سنگ سالم، سختی برشی درزه‌ها، سختی قائم درزه‌ها و فاصله‌ی درزه‌ها از یکدیگر است. برای درزه‌ی بین بتن و سنگ، سختی قائم و برشی  $1/5$  برابر مقادیر بالا در نظر گرفته شده است.

$$q = -k_j a \frac{\Delta p}{l} \quad (3)$$

که در آن  $z$  ضریب نفوذپذیری درزه، و مقدار آن برابر با  $(12\mu)/100$  است؛  $\mu$  گران‌روی دینامیکی سیال بر حسب پاسکال تانیه،  $a$  بازشدگی هیدرولیکی در نقطه‌ی تماس، و  $l$  طول تعريف‌شده برای نقطه‌ی تماس در یک درزه است. به طور کلی بازشدگی هیدرولیکی در طول اجرای برنامه  $4$  به روز می‌شود:

$$a = a_0 + u_n \quad (4)$$

$a_0$  بازشدگی درزه (نقطه‌ی تماس) در تنفس صفر، و  $u_n$  تغییر مکان قائم درزه است (بازشدگی مشیت فرض می‌شود). برای بازشدگی یک مقدار کمینه ( $a_{res}$ )، فرض می‌شود که بسته شدن مکانیکی تماس به مقادیر کم تراز آن تأثیری بر نفوذپذیری تماس نخواهد داشت. مطالب فوق بیان‌گر رابطه‌ی ساده بین بازشدگی‌های مکانیکی و هیدرولیکی درزه هاست.

### ۳. هندسه‌ی مدل و مشخصات مصالح

مدل مورد بررسی شامل یک سد بتونی وزنی بهارقایع  $10^6$  متر و مقطعی از توده‌سنگ به طول  $120$  متر در پایین دست و بالا دست، و نیز به عمق  $120$  متر است. عرض تاج سد  $10$  متر، و پایین دست سد با شیب  $0,6^\circ$  به  $1$  در نظر گرفته شده است. بدنه‌ی بتونی سد شامل  $10$  بلوك بهارقایع  $10$  متر است که هر بلوك نشان‌دهنده‌ی مرحله‌ی بی از ساخت سد است. تراز آب بالا دست سد  $90$  متر و تراز آب پایین دست صفر در نظر گرفته شده است. تمامی مرزهای کناری مدل نفوذپذیر بوده و هیچ‌گونه آبی از دو طرف توده‌سنگ، یا از پایین آن به بیرون منتقل نمی‌شود. از جایه‌جایی افقی در امتداد مرزهای قائم و از جایه‌جایی قائم در امتداد مرز پایینی ممکن است به عمل آمده است. در شکل ۱ هندسه‌ی کلی و شرایط مرزی مدل، و در شکل ۲ نمونه‌ی از شبکه‌ی المان‌های آن نشان داده شده است.

در واقعیت تعیین شیب، جهت درزه‌ها و خواص هیدرومکانیکی آن‌ها داری قطعیت نیوود و میزان دقت در برآورده آن‌ها بستگی به میزان اکتشافات ژئوتکنیکی در تکیه‌گاه‌ها و پی سد دارد. با این وجود، در این مقاله جهت ساده‌سازی و مشاهده اثرات ناییوستگی‌ها بر رفتار هیدرومکانیکی سد و تکیه‌گاه آن، دسته‌های درزه‌ها کاملاً یکسان فرض شده‌اند؛ بدین ترتیب، توده‌سنگ تکیه‌گاه با دو و سه دسته درزه مدل شده است. در حالت اول، دو دسته درزه در سه وضعیت جداگانه نسبت به هم دارای زاویه‌های  $30^\circ$ ،  $60^\circ$  و  $90^\circ$  درجه‌اند (زاویه‌ی  $\alpha$  در شکل ۱). در حالت دوم سه دسته درزه نسبت به هم دارای زاویه‌ی  $60^\circ$  درجه‌اند. در تمام حالات دسته‌های درزه اول از زاویه‌ی صفر تا  $180^\circ$  درجه و با فواصل  $15^\circ$  درجه نسبت به افق تغییر می‌کند (زاویه‌ی  $\theta$  در شکل ۱) تا تأثیر شیب دسته‌های درزه بررسی شود. فاصله‌ی درزه‌های بی در هر جهت  $S = 10$  m لحاظ شده است.

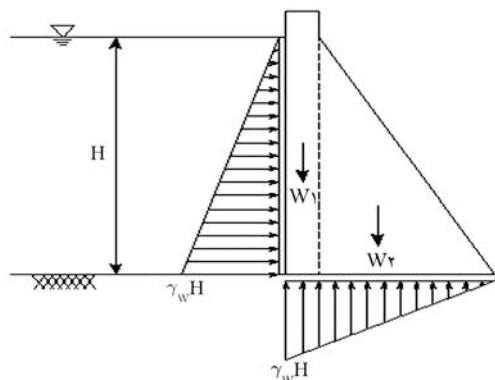
در ابتدا برای مدل مفروض مراحل ساخت و آبگیری به طور کامل تحلیل شد و پس از آن بررسی پایداری انجام شد. تحلیل اولیه‌ی ساخت و آبگیری در سه مرحله انجام شد. در مرحله‌ی اول توده‌سنگ بی تحت تنش های اولیه به تعادل رسید؛ سپس در مرحله‌ی دوم، ساخت بدنه‌ی بتونی سد در ده گام تحلیل شد و در هر گام مدل به تعادل کامل رسید. در مرحله‌ی آخر مجموعه‌ی سد و تکیه‌گاه به همراه  $90$  متر آب مخزن بالا دست تحلیل هیدرومکانیکی فرار گرفت.

جدول ۱. مشخصات لحاظ شده برای مصالح مدل.

مقادیر کششی $\sigma_t$ (Mpa)	دانسیته $\gamma$ (kg/m³)	زاویه اصطکاک $\varphi$	چسبندگی $c$ (Mpa)	مدول حجمی $K$ (Gpa)	مدول برشی $G$ (Gpa)	ضریب پوسون $v$	مدول کشسانی $E$ (Gpa)	نوع مصالح
۲/۵	۲۴۰۰	۴۵°	۵/۵	۱۳/۸۹	۱۰/۴۲	۰/۲	۲۵	بتن
۱/۵	۲۳۰۰	۴۵°	۴	۱۶/۶۷	۱۰	۰/۲۵	۲۵	سنگ پی

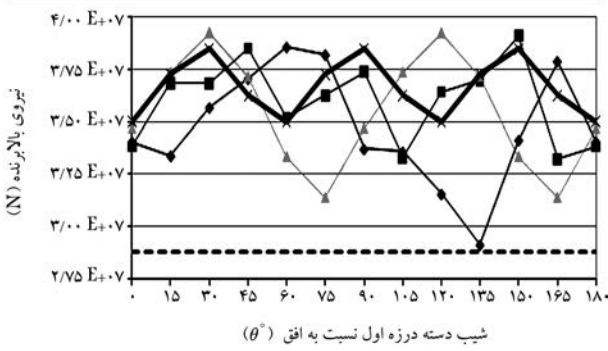
جدول ۲. مشخصات لحاظ شده برای درزه ها.

بازشدگی باقیمانده $a_{res}$ (m)	بازشدگی اولیه $a_{zero}$ (m)	مقادیر کششی $\sigma_t$ (Mpa)	سختی برشی $K_s$ (Gpa/m)	سختی قائم $K_n$ (Gpa/m)	زاویه اصطکاک $\varphi$	چسبندگی $c$ (Mpa)	نوع مصالح
۵*۱۰-۵	۱*۱۰-۴	۰/۰۵	۰/۴	۱/۲	۲۵°	۰/۱	درزه بین بلوک های سنگ
۱*۱۰-۵	۲*۱۰-۵	۰/۲	۰/۶	۱/۸	۳۵°	۰/۵	درزه بین سنگ و بتن



شکل ۳. نیروهای وارد بر سد وزنی برای بررسی پایداری واژگونی.

دو دسته درزه با زاویه ۶۰ درجه نسبت به هم  
دو دسته درزه با زاویه ۳۰ درجه نسبت به هم  
سه دسته درزه با زاویه ۶۰ درجه نسبت به هم  
دو دسته درزه با زاویه ۹۰ درجه نسبت به هم  
با فرض خطی بودن توزیع فشار بالابرند  
با فرض ناپیوستگی ها و واژگونی های زمین شناسی بی سنتگی، همواره فرض قابل قبولی نیست. ضریب اطمینان واژگونی سد از تقسیم گشتاور مقاوم ( $\sum M_R$ ) بر گشتاور محرك ( $\sum M_o$ ) محاسبه می شود:



شکل ۴. تأثیر شیب درزه ها بر نیروی بالابرند.

نیروی بالابرند با فرض توزیع خطی فشار آب در زیر پی به صورت خطی نمایش داده شده است. در تمامی موارد، مقدار نیروی بالابرند به روش اجزاء مجرما از روش معمول بیشتر است. با توجه به مقدار نیروهای بالابرند و نیز با توجه به رابطه ۷، مقدار ضریب اطمینان در برابر واژگونی در مقطع سد محاسبه شد که تغییرات آن برای دسته درزه های مختلف در شکل ۵ مشاهده می شود. چنان که

#### ۴. نتایج تحلیل های انجام شده

با توجه به هندسه های مدل و شیب دسته درزه ها، نتایج حاصل از تحلیل های انجام شده در قالب پایداری در برابر واژگونی سد، لغزش بین سد و تکیه گاه و پایداری پی ارائه می شود.

##### ۱۴. اثر شیب درزه ها بر پایداری واژگونی سد

ضریب اطمینان پایداری در برابر واژگونی سد وزنی با لحاظ کردن لشکر نیروی هیدرولیکی آب مخزن، وزن سد و نیروی بالابرند حول پنجه هی سد بررسی می شود. شکل ۳ نیروهای فوق را برای یک مدل ساده، بدون در نظر گرفتن اثر دسته درزه ها نشان می دهد. در این شکل، توزیع فشار بالابرند به صورت خطی در نظر گرفته شده که از فشار آب بالادرست در پاشنه شروع شده، و به مقدار صفر در پنجه رسیده است. باید توجه داشت که در حالت واقعی، توزیع فشار آب زیر سد به صورت خطی نیست و به تعداد و شیب دسته درزه ها بستگی دارد. این تقریب خطی به این دلیل است که توده سنگ درزه دار یک محیط پیوسته فرض شده که با وجود ناپیوستگی ها و واژگونی های زمین شناسی بی سنتگی، همواره فرض قابل قبولی نیست. ضریب اطمینان واژگونی سد از تقسیم گشتاور مقاوم ( $\sum M_R$ ) بر گشتاور محرك ( $\sum M_o$ ) محاسبه می شود:

$$\text{ضریب اطمینان واژگونی} = \frac{\sum M_R}{\sum M_o} \quad (7)$$

در شکل ۳ با فرض  $H=90$  m، ضریب اطمینان واژگونی برابر با ۱/۴۴ به دست می آید.

از آنجا که توزیع فشار آب در توده سنگ درزه دار براساس خواص درزه ها، شیب آنها، فاصله های از هم و محل آنها تعییر می کند، فشار بالابرند نیز از این عوامل تأثیر می پذیرد، و بنابراین ضریب اطمینان واژگونی در حالات مختلف درزه متاثر از آن خواهد بود. برای محاسبه های نیروی بالابرندی زیر سد، تحلیل های هیدرولیکی با توجه به هندسه و پارامترهای معرفی شده انجام شد.

در شکل ۴ مقدار نیروی بالابرند، پس از انجام تحلیل برای پی با دو و سه دسته درزه و با شیب های مختلف نشان داده شده است. چنان که مشاهده می شود، مقدار

واژگونی کم ترین و بیشترین مقدار را دارد، در مقایسه با توزیع فشار بالابرندی خطی آورده شده است. این شکل نشان می دهد که در بیشتر موارد مقدار فشار بالابرندی از توزیع فشار خطی که معمولاً فرض می شود، بیشتر است. این موضوع در شکل ۴ نیز مشاهده می شود؛ براین اساس، تنها در حالتی که دو دسته درزه با شبیه های ۱۳۵ درجه و ۱۶۵ درجه در پی قرار دارند مقدار فشار بالابرندی تقریباً مساوی با مقدار حالت توزیع خطی است. این موضوع نشان گر اهمیت بررسی اثرات هیدرومکانیکی درزه ها در برآورد پایداری سدهای بتی است. بنابراین، بهمنظور تخمین مناسب فشار بالابرندی در طراحی سدهای بتی وزنی لازم است تودهستگ تکیه گاه با توجه به شبیه و زاویه دسته درزه ها و وزیرگی های درزه ها مدل سازی شود. در غیر این صورت با احتمال برآورده کم تر فشار بالابرندی به دلیل فرض توزیع خطی مواجه هستیم، که ممکن است به طرحی غیرایمن منجر شود.

در شکل ۶ مشاهده می شود که برای دو دسته درزه با شبیه های ۶۰ و ۹۰ درجه نسبت به افق، از پاشنه سد تا حدود ۲۰ متر، زیرفشاری در حدود فشار بالادرست، و معادل  $1 \times 10^5$  پاسکال، به سد اعمال می شود. این موضوع بیان گر ایجاد ترک کششی در پاشنه سد و پیش زوی آن تا حدود ۲۰ متر است. نتایج تحلیل همچنین نشان گر ایجاد ترک کششی است برای زمانی که دو دسته درزه با شبیه های ۷۵ و ۱۰۵ درجه قرار دارند؛ البته در این مورد طول ترک در حدود ۱۵ متر است. همچنین زمانی که شبیب دسته درزه ای اول نسبت به افق ۱۵ درجه است جدا از زاویه بین دسته درزه ها، احتمال وقوع ترک کششی وجود دارد. این موضوع از منحنی تنش مؤثر در زیر سد قابل برداشت است. در موارد اخیر مشاهده می شود که تقریباً در ۱۵ متر ابتدایی طول پایه سد، مقدار تنش مؤثر قائم نزدیک به صفر است و این نشانه بیان برای آغاز ترک کششی در مرز مشترک سد و پی است.

برای مدل ساده ای شکل ۳ که در آن فشار بالابرندی به صورت خطی معرفی شده نیز می توان با مقایسه برآیند تنش فشاری ناشی از نیروهای ناشی از وزن سد، لنگر خروج از مرکزیت و مقاومت کششی بین بتن و سنتگ احتمال وقوع ترک کششی را بررسی کرد. بررسی فوق نشان داد که در حالت اخیر ضریب اطمینان برابر با در مقابل وقوع کشش برای باکرداری عادی حدود ۳ است.<sup>[۱۰]</sup> بدین ترتیب ضریب اطمینان مقطع سد معرفی شده کافی نیست و وجود احتمال وقوع ترک کششی مؤید نتایج حاصل از تحلیل های فوق است.

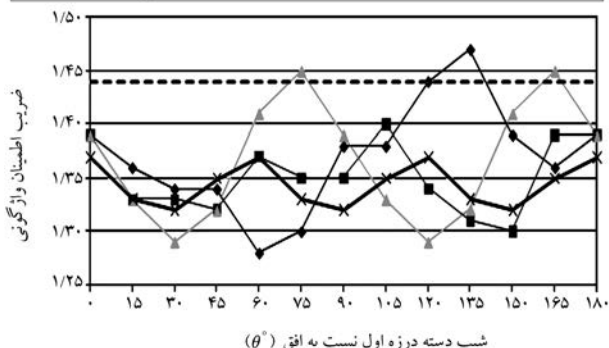
#### ۲.۴. اثر شبیب درزه ها بر پایداری لغزشی سد

چنان که مشاهده شد نحوه توزیع دسته درزه ها بر توزیع فشار بالابرنده مؤثر است؛ همچنین میزان فشار بالابرندی بر ضریب اطمینان در برابر لغزش مؤثر است زیرا موجب تغییر مقاومت بشی سطح تماس می شود. بدین ترتیب در این قسمت، اثر هندسه ای دسته درزه ها بر ضریب اطمینان در برابر لغزش سد بر روی محل اتصال آن با پی مورد بررسی قرار می گیرد. در شکل ۳، با در نظر گرفتن مقاومت بشی در پایه سد -- به عنوان تنها عامل بازدارنده در مقابل لغزش -- می توان ضریب اطمینان لغزش را از رابطه ای ۸ به دست آورد:

$$\frac{\tau A}{\Sigma F_h} = \frac{(c + \sigma' \tan \varphi) A}{\Sigma F_h} \quad \text{ضریب اطمینان لغزش} \quad (8)$$

که در آن  $c$  چسبندگی،  $\varphi$  زاویه ای اصطکاک درزه بین بتن و سنتگ است. با در نظر گرفتن نیروهای نشان داده شده در شکل ۳، مقدار ضریب اطمینان در برابر لغزش  $1/7$  خواهد بود. چنانچه در رابطه ای ۸ از نیروهای بالابرندی محاسبه شده در

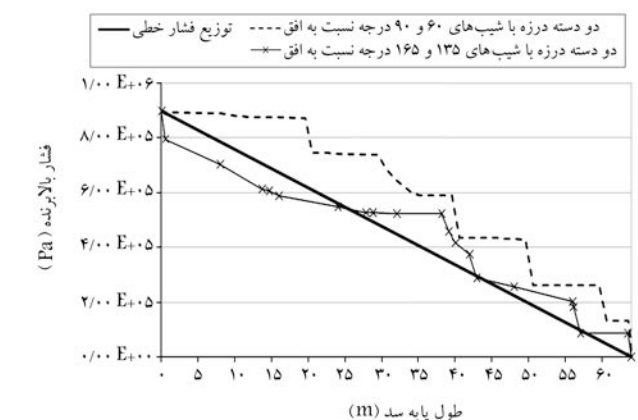
دو دسته درزه با زاویه ۶۰ درجه نسبت به هم  
دو دسته درزه با زاویه ۹۰ درجه نسبت به هم  
دو دسته درزه با زاویه ۱۳۵ درجه نسبت به هم  
با فرض خطی بودن توزیع فشار بالابرنده



شکل ۵. تأثیر شبیب درزه ها بر ضریب اطمینان واژگونی.

مشاهده می شود فقط در چهار وضعیت خاص، مقدار ضریب اطمینان محاسبه شده از مقدار محاسبه شده به روش مرسوم (۱۱، ۴۴) بیشتر شده است. در شکل های ۴ و ۵ مشاهده می شود که در زمانی که زاویه بین دو دسته درزه ۳۵ درجه و ۹۰ درجه است، دامنه تغییرات ضریب اطمینان واژگونی بیشتر است. هر دو مقدار کمینه و بیشینه ضریب اطمینان مربوط به حالتی است که دو دسته درزه با زاویه ۳۰ درجه نسبت به هم قرار گرفته اند؛ همچنین زمانی که دو دسته درزه با زاویه ۶۰ درجه نسبت به هم قرار گرفته اند و نیز برای سه دسته درزه با زاویه ۶۰ درجه بین درزه ها، ضریب اطمینان واژگونی در بازه کوچک تری نسبت به دو حالت دیگر تغییر می کند و مقدار آن بین ۱/۳ و ۱/۴ تا ۱/۴ است (در سه دسته درزه عملاً محيط به وضعیت نسبت همسان<sup>۳</sup> نزدیک می شود). بنابراین در این دو حالت شبیب دسته درزه اول نسبت به افق تأثیر کم تری در توزیع فشار بالابرندی و درنتیجه پایداری واژگونی سد خواهد داشت. یادآور می شود که نتایج بیان شده برای دسته درزه های یکنواخت ارائه شده در این نوشتار صادق است و روند آن ها می تواند در الگوهای مشابه تکرار شود. برای سد های بینی خاص بر روی تودهستگ های درزه دار، عملاً باید گام های فوق تکرار شوند و آنچه در این قسمت ارائه شده فقط به عنوان الگوی عمومی مطرح است؛ به ویژه آنکه در تحلیل های حاضر، فاصله ای درزه ها  $10$  متر فرض شده که در عمل می تواند بیشتر یا کمتر باشد.

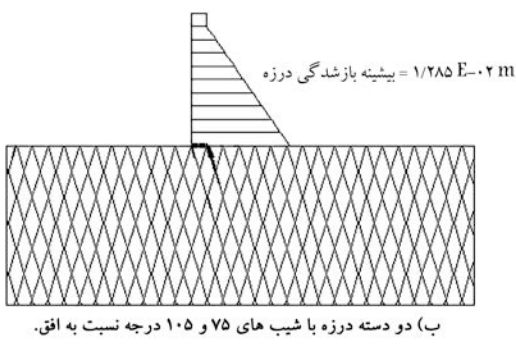
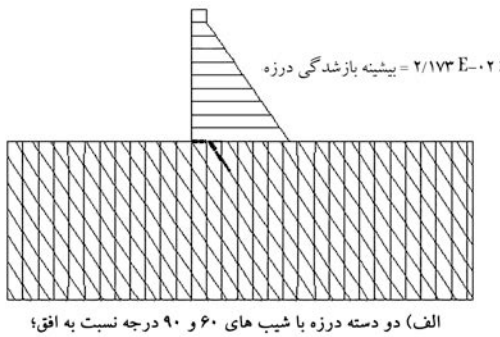
در شکل ۶ توزیع فشار بالابرندی در زیر سد برای زمانی که ضریب اطمینان



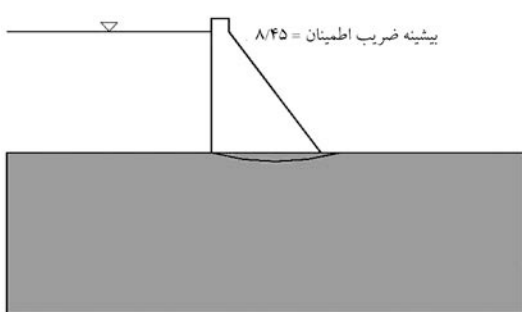
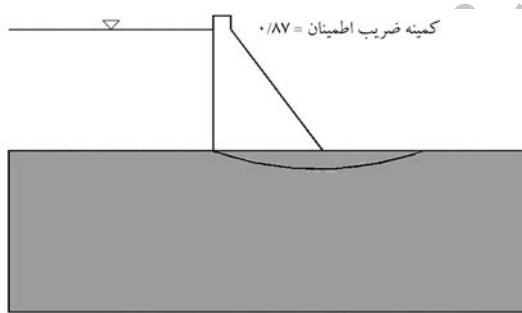
شکل ۶. توزیع فشار بالابرندی زیر سد، هنگامی که ضریب اطمینان واژگونی کم ترین و بیشترین مقدار را دارد.

محیط پیوسته برای پی، کمینه و بیشینه ضریب اطمینان پایداری پی به ترتیب معادل  $87^{\circ}$ ,  $84^{\circ}$  و  $80^{\circ}$  خواهد بود.

برای تعیین ضریب اطمینان در مقابل لغزش عمومی در پی با وجود دسته درزه های معرفی شده، از روش کاهاش مقاومت برشی<sup>۴</sup> استفاده شده است.<sup>[۱۲]</sup> در اواقع پارامترهای مقاومتی توده سنگ درزه دار— شامل چسبندگی، زاویه احاطکاک داخلی و مقاومت



شکل ۸. ترک کششی در پاشنه‌ی سد.



شکل ۹. سطح لغزش پی با فرض محیط پیوسته.

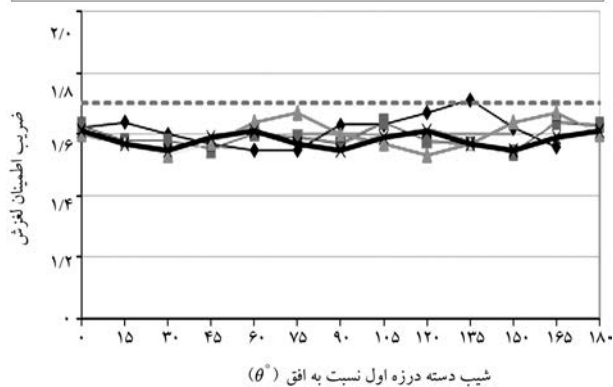
شکل ۴ استفاده شود، ضریب اطمینان در برابر لغزش نیز تابعی از شیب دسته درزه ها خواهد بود.

در شکل ۷ تأثیر شیب دسته درزه ها بر ضریب اطمینان لغزش نشان داده شده است. در تمام حالات ضریب اطمینان در برابر لغزش از مقدار  $1/7$  کمتر است، اگرچه نوسانات ضریب اطمینان لغزش چندان زیاد نیست و عملکرد تراز ۵ درصد با مقدار تحلیلی فاصله دارد. مشابه این مسئله در نتایج حاصل از تحلیل های محققین مشاهده شده است.<sup>[۱۳]</sup> دلیل اصلی این مسئله را می توان در افزایش توزیع فشار بالابرنده در زیر سد جستجو کرد.

مشخص است که در این وضعیت نیز بیشترین نوسان در ضریب اطمینان مربوط به دو دسته درزه با زاویه  $30^{\circ}$  درجه نسبت به هم است. همچنین دیده می شود که دامنه ای تغییرات ضریب اطمینان پایداری در سیستم پی با دو دسته درزه بیشتر از سه دسته درزه است، در حالی که متوسط ضریب اطمینان در سه دسته درزه کمی کمتر از حالات با دو دسته درزه است. در مواردی که شاهد کمترین ضریب اطمینان لغزش بوده ایم، ترک کششی در پاشنه‌ی سد ایجاد شده و تا حدی پیش رفته است. ترک ایجاد شده باعث افزایش فشار آب در ناحیه‌ی ترک خوردگی و کاهاش سطح تماس بتن و سنگ شده است. در شکل ۸ تأثیرهای ترک خوردگی زیر پی در در حالت مختلف نشان داده شده است.

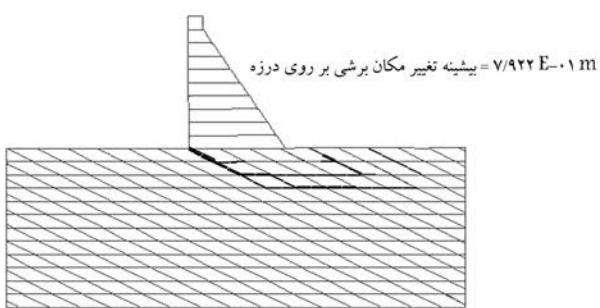
### ۴. اثر شیب درزه ها بر پایداری پی

چنانچه مقاومت برشی پی معادل مقاومت برشی درزه ها یا خود سنگ سالم فرض شود، کمینه و بیشینه ضریب اطمینان لغزش در پی مذکور را می توان توسط نرم افزارهای تعادل حدی محاسبه کرد. در این نوشته ارزیابی پایداری کلی سد و پی آن در دو حالت حدی فوق توسط نرم افزار w/slope<sup>[۱۴]</sup> انجام شده است. در هر دو حالت سطح آب در زیر پی به صورت خطی از بیشینه تراز  $90^{\circ}$  متر در بالا دست تا روی سنگ بستر در پایین دست تغییر یافته است. در فرض اول پی به صورت یک محیط پیوسته با مشخصات مقاومت برشی مشابه مشخصات درزه های توده سنگ در نظر گرفته شد. در این حالت که سطح لغزش آن در شکل ۹ (الف) مشاهده می شود، حداقل ضریب اطمینان برابر با  $87^{\circ}$  به دست آمد. در حالت دوم پی به صورت یک محیط پیوسته با مشخصات مقاومت برشی مشابه سنگ سالم فرض شد و کمترین ضریب اطمینان برابر با  $84^{\circ}$  به دست آمد (شکل ۹ ب). بنابراین با فرض

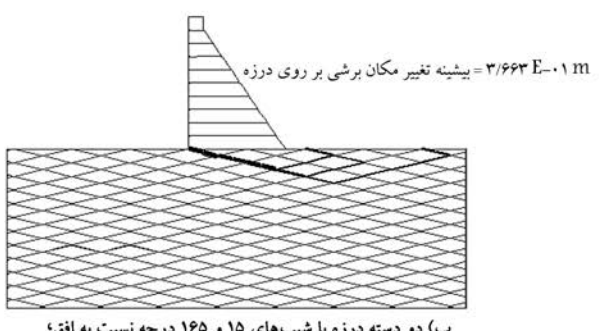


شکل ۷. تأثیر شیب درزه ها بر ضریب اطمینان لغزش.

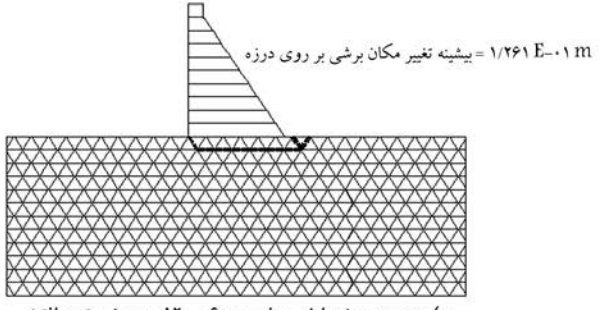
کششی -- به تدریج کاهش داده می‌شود:



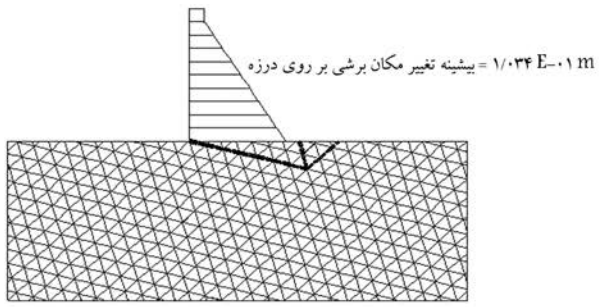
الف) دو دسته درزه با شیب‌های ۰ و ۳۰ درجه نسبت به افق؛



ب) دو دسته درزه با شیب‌های ۱۵ و ۱۶۵ درجه نسبت به افق؛



ج) سه دسته درزه با شیب‌های ۰، ۶۰ و ۱۲۰ درجه نسبت به افق؛



د) سه دسته درزه با شیب‌های ۱۵، ۷۵ و ۱۳۵ درجه نسبت به افق.

شکل ۱۰. سطح لغزش مربوط به پی‌های ناپایدار.

می‌شوند و این امر به مقاومت زیاد توده‌سنگ در برابر ناپایداری عمومی می‌انجامد و درنتیجه ضریب اطمینان افزایش می‌یابد. اما زمانی که شیب لایه‌ی اول نسبت به افق ۷۵ درجه است (شکل ۱۲ ب) سد و قسمتی از پی از زیر پاشنه جدا شده و بر روی درزه‌یی با شیب نزدیک به افق لغزیده‌اند. این امر باعث شده که گسیختگی راحت‌تر اتفاق بیفتد و ضریب اطمینان بسیار کمتری به دست آید. نحوه‌ی گسیختگی دیگر مواردی که ضریب اطمینان نزدیک به ۱ دارند نیز مؤید این موضوع است. درواقع می‌توان علت نوسان زیاد ضریب اطمینان پایداری پی در سیستم دو دسته‌درزه را

$$C_{n+1} = \frac{C_n}{FS}$$

$$\begin{aligned} (\tan \varphi)_{n+1} &= \frac{(\tan \varphi)_n}{FS} \\ (\sigma_t)_{n+1} &= \frac{(\sigma_t)_n}{FS} \end{aligned} \quad (۹)$$

در رابطه‌ی  $FS$  ضریب بزرگ‌تر از ۱ است. بدین‌منظور با کاهش پارامترهای بالا در هر مرحله، تحلیل کامل صورت می‌گیرد و این روند تا زمانی ادامه می‌یابد که سرعت یا جایه‌جایی لغزشی در سد به طور قابل توجهی افزایش می‌یابد و سد عملأ ناپایدار می‌شود. افزایش سرعت و جایه‌جایی، هم‌زمان با کاهش سرعت هم‌گرایی و در بسیاری از موارد واگرایی تحلیل عددی همراه است. نسبت مقدار اولیه‌ی هر یک از پارامترهای فوق به مقدار کاهش یافته‌ی آن‌ها در زمان گسیختگی (یا مقدار نهایی  $FS$ ، ضریب اطمینان پایداری پی را مشخص می‌کند).

در چند مورد پس از آنکه مخزن و قبل از تحلیل پایداری، پی دچار گسیختگی شد. شکل ۱۰ سطح لغزش را برای این موارد ناپایدار نشان می‌دهد. در تمام این موارد هندسه‌ی درزه‌ها بگونه‌یی است که تقاطع آن‌ها با یکدیگر سطح لغزشی نزدیک به افق در پی ایجاد کرده است و موجب ناپایداری مجموعه‌ی سد و پی گشته است. ضریب اطمینان پایداری پی به روش کاهش مقاومت برزی برای مدل‌های تهیه شده با دسته‌درزه‌های مختلف محاسبه شدند که نتیجه‌ی آن‌ها در شکل ۱۱ مشاهده می‌شود. در این شکل برای موارد چهارگانه‌ی شکل ۱۰، که قبل از تحلیل پایداری دچار لغزش شده‌اند، ضریب اطمینان برابر با ۱ در نظر گرفته شده است. پادآور می‌شود که ضریب اطمینان معادل ۱ در بعضی دیگر حالات نیز تکرار شده‌اند. به طور کلی ناپایدارترین حالت مربوط به زمانی است که سه دسته‌درزه با زاویه‌ی ۶۰ درجه نسبت به هم در توده‌سنگ پی وجود داشته باشد (شکل ۱۱). تغییرات ضریب اطمینان پایداری پی با شیب درزه‌ها در این حالت یکنواخت‌تر بوده و عملأ در محدوده‌ی عدد ۱ نوسان دارد. این مسئله نشان می‌دهد که در این حالت نتیجه‌ی ضریب اطمینان به مقدار روش تعادل حدی (شکل ۹ الف) نزدیک شده است. در واقع می‌توان نتیجه‌ی گرفت که چنانچه تعداد دسته‌درزه‌ها با توزیع یکنواخت و پارامترهای یکسان افزایش یابند، عملأ محیط همسان شده و عدد ضریب اطمینان به ضریب اطمینان حاصل از روش‌های مرسوم نزدیک تر می‌شود.

برای دو دسته‌درزه نیز در هر سه حالت مورد برسی، مواردی با ضریب اطمینان پایین و نزدیک به ۱ وجود دارد. بنابراین تعیین شیب لایه‌ها در این مورد از اهمیت خاصی برخوردار است. زمانی که دو دسته‌درزه عمود بر یکدیگرند، در بیشتر موارد ضریب اطمینان پایداری پی مقدار بیشتری را نسبت به دیگر حالات دارد؛ هرچند که در این حالت نوسانات و تغییرات ضریب اطمینان با زاویه‌ی دسته‌درزه اول نیز بیشترین است. با توجه به این تغییرات، رعایت دقت کافی در برآوردن مشخصات هندسی و ژئوتکنیکی درزه‌ها به منظور ارزیابی پایداری عمومی آن‌ها تا رسیدن به قطعیت کافی در طراحی سدهای بتی ضروری است.

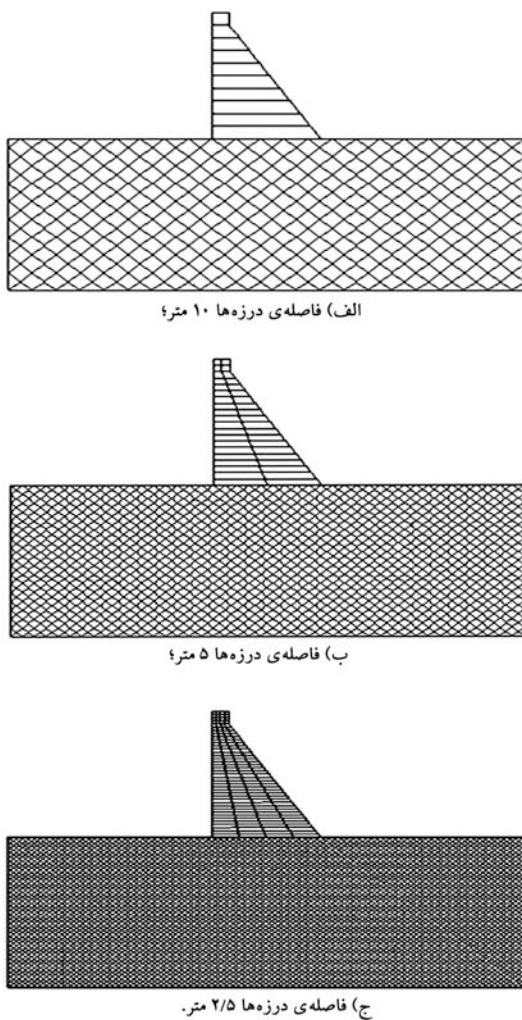
در شکل ۱۲ میدان جایه‌جایی سد و پی، برای سد بسته شده بر دو دسته‌درزه‌ی عمود برهم، در ناپایدارترین و پایدارترین وضعیت نشان داده شده است. البته باید توجه داشت که میران جایه‌جایی‌ها در لحظه‌ی نهایی گسیختگی است و به همین دلیل میران آن‌ها از اهمیت چندانی برخوردار نیست. مشاهده می‌شود که نحوه‌ی گسیختگی پی در دو حالت قدری متفاوت است. زمانی که شیب لایه‌ی اول نسبت به افق ۳۰ درجه است (شکل ۱۲ الف)، سطح لغزش به عمق توده‌سنگ کشانده

می‌دهد که در انتخاب محل مناسب برای سدهای وزنی و طراحی آن‌ها باید تمام جنبه‌های پایداری در نظر گرفته شود تا یمنی سد به خطر نیفتد.

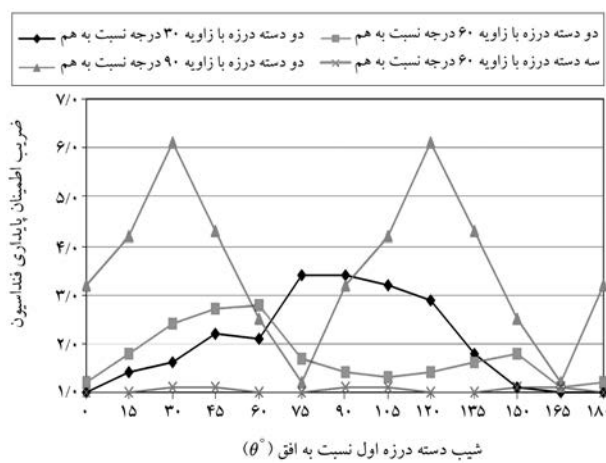
#### ۴.۴. اثر فاصله‌ی درزه‌ها و بازشدگی آن‌ها

با توجه به تأثیر فاصله‌ی درزه‌ها و بازشدگی آن‌ها بر رفتار هیدرومکانیکی سیستم درزه‌ها، در این قسمت نتیجه‌ی تحلیل حساسیت بر روی این دو پارامتر بررسی می‌شود. عطف به تعداد زیاد حالت‌های ممکن و به لحاظ شباهت زیاد رفتار، در این قسمت تنها مدل توده‌سنگ شامل دو دسته‌درزه‌ی عمود بر هم با شیب ۴۵ درجه نسبت به افق به عنوان مبنای کار انتخاب شده است. ابتدا ابعاد بلوک‌ها نصف، و سپس یک‌چهارم شد و نتایج با هم مقایسه شد. در شکل ۱۳ هندسه‌ی مدل برای سه حالت ابعاد بلوک‌ها نشان می‌دهد. چنان‌که در شکل دیده می‌شود هرچه ابعاد بلوک‌ها کوچک‌تر شود محیط پیوسته نزدیک‌تر می‌شود.

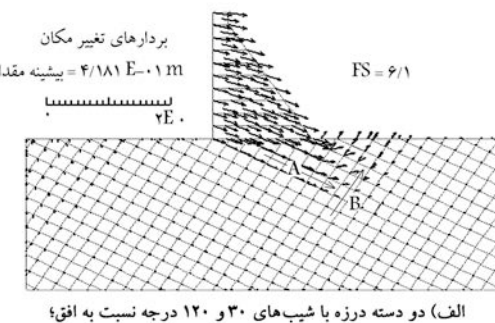
با کوچک‌شدن ابعاد بلوک‌ها تعداد درزه‌ها افزایش می‌یابد و این به معنای افزایش مسیرهای جریان است؛ در واقع دبی عبوری از توده‌سنگ افزایش یافته و عملایق مقدار فشار بالابرند کاهش می‌یابد (شکل ۱۴). به عنوان نتیجه‌ی کلی می‌توان گفت با



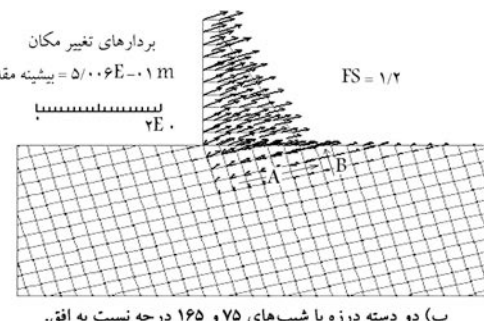
شکل ۱۳. هندسه‌ی مدل.



شکل ۱۱. تأثیر شیب درزه بر ضریب پایداری پی.



الف) دو دسته درزه با شیب‌های ۳۰ و ۱۲۰ درجه نسبت به افق؛



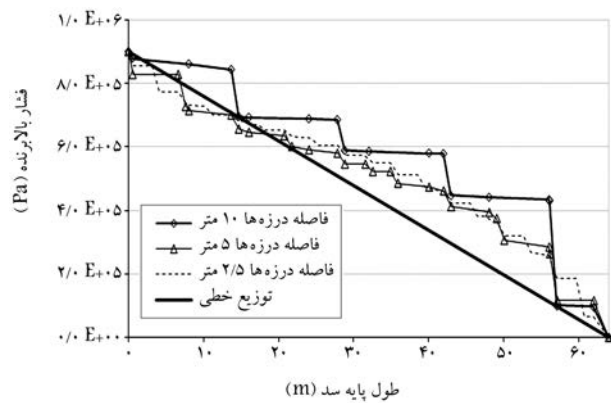
ب) دو دسته درزه با شیب‌های ۷۵ و ۱۶۵ درجه نسبت به افق.

شکل ۱۲. میدان جابه‌جایی سد و پی پس از گسیختگی.

در نحوه‌ی تشکیل بلوک‌های لغزشی جست‌وجو کرد؛ گاه سیستم درزه‌ها منجر به تشکیل سازوکار گسیختگی محتمل‌تری می‌شوند و گاه خود باعث ایجاد مقاومت اضافی نسبت به نوع دیگری از سیستم درزه‌ها می‌شود. به عنوان مثال مشاهده می‌شود که در دو حالت حدی شکل ۱۲، وقوع ناپایداری منجر به حرکت بلوک‌ها به سمت راست شده است، با این تفاوت که در حالت الف حرکت بلوک‌ها در راستای A منجر به فشار بیشتر بر بلوک‌های راستای بردار B شده و عملایق مقاومت برشی در راستای B افزایش می‌یابد اما در حالت ب به دلیل آزادی حرکت بیشتر بلوک‌ها در راستای A عملایق فشار زیادی در راستای B وجود نخواهد داشت و بدین‌ترتیب این بلوک‌ها راحت‌تر می‌لغزنند.

از مقایسه‌ی شکل‌های ۵، ۷ و ۱۱ در می‌باییم که ضریب اطمینان‌های واژگونی و لغزش بی با ضریب اطمینان‌پایداری کلی بی هماهنگ نیست. این مطلب نشان

درزه‌ها بر اثر پایداری سد نیز مورد بررسی قرار گرفت که با توجه به تغییرات کم آن تأثیر بسیار کمی در نتایج حاصله داشت. یادآور می‌شود که عوامل دیگری در رفتار هیدرومکانیکی توده‌سنگ پی و درنتیجه در میزان پایداری سیستم سد و تکیه‌گاه موثر است که در این نوشتار بررسی نشده است؛ تغییر در خواص درزه‌ها، تداوم درزه‌ها، وجود لایه‌بندی‌های مشخص، منظم یا تصادفی بودن دسته‌درزه‌ها... از این جمله‌اند، که در این فرصت سعی شد تنها اهمیت برخی پارامترهای مهم مورد توجه قرار گیرد.



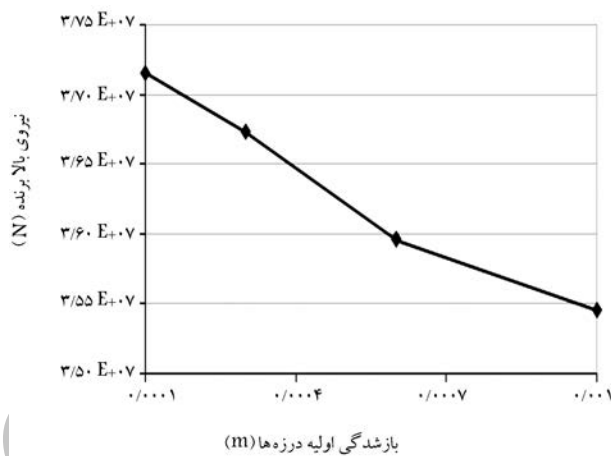
شکل ۱۴. تأثیر فاصله‌ای درزه‌ها بر فشار بالابرنده در زیر سد.

در این تحقیق با استفاده از روش اجزاء مجزا پایداری یک سد بتی وزنی تحت شرایط مختلف توده‌سنگ تکیه‌گاهی مورد ارزیابی قرار گرفته است. توده‌سنگ تکیه‌گاه به صورت یک محیط نایوسنه با دو سه دسته درزه‌ی منظم مدل شده که دو دسته درزه با زاویه‌های  $30^\circ$ ,  $60^\circ$  و  $90^\circ$  درجه و سه دسته درزه با زاویه‌ی  $60^\circ$  درجه نسبت به یکدیگر قرار دارند. در تمام حالات دسته درزه‌ی اول از زاویه‌ی  $0^\circ$  تا  $180^\circ$  درجه و با فواصل  $15^\circ$  درجه، نسبت به افق تغییر می‌کند. در هر حالت مراحل ساخت سد و آبگیری آن تحلیل شد و سپس توزیع فشار بالابرنده در پایه و قاعده نیز بررسی شد. پایداری در برابر واژگونی حول پنجه، پایداری در برابر لغزش در پایه، موقع توک کششی در پایه و پایداری پی سد، مورد بررسی قرار گرفت. تحلیل حساسیتی نیز بر روی فاصله درزه‌ها و بازشدنگی آن‌ها انجام شد.

نتایج حاصل از تحلیل فوق نشان می‌دهد که برای تخمین بهتر میدان تغییر شکل، توزیع فشار بالابرنده و محاسبه‌ی ضرایب اطمینان پایداری در زیر سد ضرورت می‌یابد. اثرات هیدرومکانیکی توده‌سنگ تکیه‌گاهی با استفاده از روش‌های عددی در محیط نایوسنه مورد توجه قرار می‌گیرد. در مقایسه با حالت پی به صورت محیط پیوسه، توده‌سنگ درزه‌دار تحت تغییر مکان‌های بیشتری قرار می‌گیرد که منجر به تغییرات فاصله در خواص هیدرولیکی درزه‌ها شده که هنگام محاسبه‌ی فشار برخاستی لازم است مورد توجه قرار گیرد.

نتایج تحلیل‌ها نشان می‌دهند که در اکثر حالات سیستم درزه‌ها در پی، فشار بالابرنده محاسبه شده زیر سد از توزیع خطی که در طراحی این‌گونه سدها مورد استفاده قرار می‌گیرد بیشتر است. به‌همین دلیل ضریب اطمینان در برابر واژگونی سد و لغزش بر روی پایه سد نیز کمتر از روش‌های مرسوم به دست می‌آید. وابستگی فشار بالابرنده و ضریب اطمینان در برابر انواع ناپایداری‌های مورد بررسی به شیب دسته درزه‌ها، در سیستم دو دسته درزه بیشتر از سیستم سه دسته درزه است؛ درحالی اخیر که درزه‌ها دارای زاویه بین  $60^\circ$  درجه‌اند عملً شرایط پی به شرایط همسان نزدیک می‌شود.

در سیستم پی با دو دسته درزه، بیشترین وابستگی در توزیع فشار بالابرنده و درنتیجه ضریب اطمینان واژگونی و لغزش در پایه سد در وضعیتی اتفاق می‌افتد که دو دسته درزه دارای زاویه بین  $30^\circ$  درجه در پی قرار گرفته باشد در حالی که این وابستگی در ضریب اطمینان پایداری عمومی پی در سیستم درزه‌های متعامد بیشتر است؛ این مسئله بدلیل امکان جابه‌جایی بلوك‌های سنگی در جهات خاص و تشکیل سازوکارگسی‌بختگی محتمل‌تر در امتداد برعی از دسته‌درزه‌ها است. با افزایش فاصله درزه‌ها و نیز کاهش بازشدنگی آن‌ها میزان فشار بالابرنده زیر سد افزایش یافته است. (یادآور می‌شود در این نوشتار فاصله‌ی درزه‌ها همواره از عرض پایه سد کمتر بوده است).



شکل ۱۵. تأثیر بازشدنگی اولیه در مقدار نیروی بالابرنده در زیر سد.

کوچک شدن فاصله‌ای درزه‌ها، فشار بالابرنده تا حدی به توزیع فشار خطی نزدیک تر می‌شود.

در سیستم درزه‌های فوق، کاهش فشار بالابرنده به دنبال کم شدن فاصله‌ای درزه‌ها باعث افزایش پایداری در برابر واژگونی و لغزش سد می‌شود. اما این افزایش ناچیز تهای در حد  $1\%$  به ضریب اطمینان واژگونی و لغزشی سد کمک می‌کند. مورد مهم تر پایداری پی است که با کوچک شدن بلوك‌ها و افزایش تعداد درزه‌ها به شدت تحت تأثیر قرار می‌گیرد، به‌گونه‌یی که با نصف و یک چهارم شدن ابعاد بلوك‌ها مقدار ضریب پایداری پی به ترتیب از  $2/3$  به  $2/5$  و  $2/2$  کاهش می‌یابد. این کاهش را می‌توان ناشی از لغزش راحت‌تر بلوك‌های کوچک در کنار یکدیگر و امکان تشکیل مسیرهای لغزش نزدیک به دایره بر اثر تقاطع درزه‌ها دانست.

در تحلیل‌های دیگر،  $4^\circ$  مقدار مختلف برای بازشدنگی اولیه‌ی درزه‌ها تعیین و برای هر کدام تحلیل هیدرومکانیکی کامل بر روی مدل انجام شد. نتایج نشان داد که بازشدنگی درزه‌ها بر دبی عبوری از پی سد تأثیر به سریعی دارد، به طوری که با  $10^\circ$  برابر شدن بازشدنگی اولیه‌ی درزه‌ها، مقدار دبی خروجی بیش از  $10^{0.0}$  برابر می‌شود. البته این مسئله توسط رابطه‌ی  $3$  نیز قابل پیش‌بینی بود چرا که دبی درزه با توان سوم بازشدنگی آن در ارتباط است. با توجه به افزایش دبی خروجی بر اثر افزایش بازشدنگی اولیه‌ی درزه‌ها، قاعده‌ی انتظار می‌رود که فشار بالابرنده زیر پی کاهش بازشدنگی اولیه‌ی درزه‌ها، قاعده‌ی انتظار می‌رود که فشار بالابرنده زیر پی کاهش یابد. با افزایش بازشدنگی درزه سرعت جریان در توده‌سنگ افزایش می‌یابد و همین امر باعث کاهش فشار آب در زیر سد می‌شود (شکل ۱۵). اثر بازشدنگی اولیه‌ی

## پانوشت

1. discontinuous deformation analysis
2. compressible
3. isotrop
4. strength reduction technique

## منابع

1. Abrishami, J. and Vahhab Rajaei, N. "Concrete dams: Design and construction", Astane Ghodss Razavi, pp. 93-104 (1380).
2. US Army Corps of Engineers "Engineering and design: Gravity dam design," EM 1110-2-2200, pp. 3-4 (1995).
3. Kim, Y.I.; Amadei, B. and Pan, E. "Modeling the effect of geology on uplift in concrete gravity dam foundations with the discontinuous deformation analysis", Rock Mechanics for industry, pp. 527- 534 (1999).
4. Barla, G.; Bonini, M. and Cammarata, G. "Stress and seepage analysis for a gravity dam on a jointed granitic rock mass", Numerical Modeling of Discrete Materials, Konietzky, pp. 263-268 (2004).
5. Dolezalova, M. "Numerical analysis of an old masonry dam using UDEC", Numerical Modeling of Discrete Materials, Konietzky, pp. 269-277 (2004).
6. Gimenes, E. and Fernández, G. "Hydromechanical analysis of flow behavior in concrete gravity dam foundations", *Canadian Geotechnical Journal*, **43**, pp. 244-259 (2006).
7. Yazdani, S., *Evaluation of Hydromechanical Behavior of Jointed Rock Mass on Stability of Concrete Arch Dam Abutments*, M.Sc thesis, Tarbiat Modares University (1385).
8. Itasca Consulting Group, Inc. UDEC - Universal Distinct Element Code, Ver. 3.1 (2000).
9. Pande, G.N.; Beer, G. and Williams, J.R., *Numerical Methods in Rock Mechanics*, John Wiley & Sons LTD (1990).
10. United States Department of the Interior Bureau of Reclamation, "Design of Small Dams", Oxford & IBH Publishing Co. Pvt. Ltd. (2004).
11. GEO-SLOPE International Ltd, Calgary, Alberta, Canada. SLOPE/W, Ver. 5 (2002).
12. Dawson, E.M.; Roth, W.H. and Drescher, A. "Slope stability analysis by strength reduction", *Géotechnique*, **49**(6), pp. 835-840 (1999).